

$V_x = 0$ (а), $V_y = 0$ (б), $V_z = 0$ (в). На рис. 2 видны соответствующие сечения для восстановленного распределения $F_\alpha(\mathbf{V})$ при $N_\theta = 10$, $N_\phi = 10$.

Результаты численных расчетов демонстрируют возможности нахождения трехмерного распределения частиц по скоростям средствами вычислительной томографии.

ЛИТЕРАТУРА

1. Полякова Г. Н., Ранюк А. И., Ерко В. Ф. Распределение по кинетическим энергиям возбужденных атомов, возникающих при диссоциации молекул H_2 и D_2 электронным ударом // ЖЭТФ.— 1977.— Т. 73, вып. 6(12).
2. Оторбаев Д. К., Очкин В. Н., Преображенский Н. Г. и др. Распределение молекул $N_2(C^3\Pi)$ по скоростям при их возбуждении в нерезонансных взаимодействиях тяжелых частиц.— М., 1981.— (Препр./Физ. ин-т АН СССР; № 39).
3. Kinsey J. L. Fourier transform Doppler spectroscopy: a new means of obtaining velocity-angle distributions in scattering experiments // J. Chem. Phys.— 1977.— V. 66, N 6.
4. Воскобойников Ю. Е., Преображенский Н. Г., Седельников А. И. Математическая обработка эксперимента в молекулярной газодинамике.— Новосибирск: Наука, 1984.
5. Луитт Р. М. Алгоритмы реконструкции с использованием интегральных преобразований // ТИИЭР.— 1983.— Т. 71, № 3.
6. Воскобойников Ю. Е., Пикалов В. В., Седельников А. И. Регуляризирующий алгоритм Фурье-реконструкции // II Всесоюз. симпози. по вычислительной томографии, Куйбышев, 1985: Тез. докл.— Куйбышев: КуАИ, 1985.

г. Новосибирск

Поступила 22/VII 1988 г.

УДК 621.313.17:537.856

И. А. Васильев, С. Р. Петров

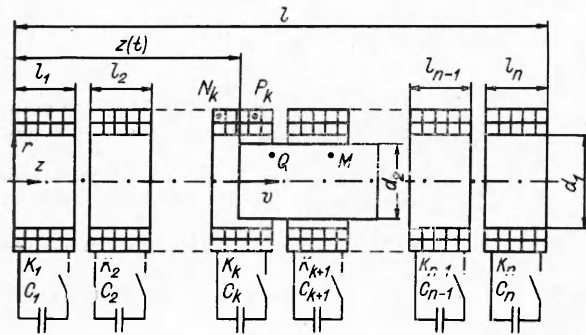
ЧИСЛЕННОЕ И ЭКСПЕРИМЕНТАЛЬНОЕ ИССЛЕДОВАНИЕ МНОГОКАСКАДНОГО ИНДУКЦИОННОГО УСКОРИТЕЛЯ ПРОВОДНИКОВ

В ряде областей науки и техники требуется получение высоких скоростей движения твердых тел, которые могут быть достигнуты при метании проводников в сильных магнитных полях. Эффективным способом высокоскоростного метания является ускорение плоских кольцевых проводников в импульсном магнитном поле, создаваемом плоским кольцевым индуктором [1]. Однако иногда требуется ускорять объемные тела, в частности, имеющие цилиндрическую форму. Такие проводники могут быть ускорены в импульсном магнитном поле, создаваемом индуктором в виде соленоидной катушки. На базе индукторной системы соленоидного типа можно создать многокаскадные ускорители проводников, позволяющие достигать высоких скоростей метания при ограниченных механических нагрузках на метаемое тело.

Теоретическому исследованию электромеханических процессов в однокаскадных (содержащих одну ускоряющую катушку) ускорителях с индуктором соленоидного типа, питаемым от конденсаторной батареи, посвящены работы [2—4]. В [2] разработана математическая модель индукторной системы соленоидного типа с использованием метода интегральных уравнений, выявлено существование оптимальной массы ускоряемого проводника, при которой кинетическая энергия проводника может составлять более 50 % от энергии, первоначально накопленной в конденсаторной батарее. В [3] на математической модели в приближении теории цепей проанализировано влияние основных параметров индукторной системы на электромеханический КПД, определяемый как отношение кинетической энергии проводника по окончании ускорения к начальному запасу энергии в конденсаторной батарее. Выявлено, в частности, что к значительному повышению КПД в ряде случаев приводит наличие начальной скорости проводника, что должно обусловить относительно высокую эффективность преобразования энергии в многокаскадном ускорителе. Численное исследование электромагнитных процессов в индукторной системе соленоидного типа на основе метода конечных разностей, проведенное авторами [4], показало, что математическая модель, предложенная в [3], позволяет с достаточной для инженерной практики точностью рассчитывать конечную скорость проводника и амплитуду разрядного тока. С другой стороны, допущение о равномерном распределении плотности тока по осевой длине ускоряемого проводника не позволяет детально проанализировать процесс оплавления проводника в результате разогрева вихревыми токами, который в разных частях проводника протекает неодинаково. Правильный учет джоулевого нагрева особенно важен при модели-

ровании работы многокаскадного индукционного ускорителя, когда в очередной каскад метаемый проводник попадает уже нагретым в предшествующих каскадах, причем распределение температуры, а следовательно, и электропроводности по его объему имеет сложный характер. Модели, разработанные в [2—4], могут быть использованы для последовательного расчета по ступеням многокаскадного ускорителя лишь в том частном случае, когда индукторы каскадов расположены друг от друга на достаточном удалении и их взаимным влиянием можно пренебречь.

В общем случае расчетная модель многокаскадного индукционного ускорителя должна содержать (рис. 1) метаемый проводник с электропроводностью γ и n индукторов в виде соленоидов с токами $i_1(t) \div i_n(t)$, подключенных через коммутаторы $K_1 \div K_n$ к конденсаторным батареям $C_1 \div C_n$. Таким образом, математическое описание процессов в ускорителе должно учитывать наличие n индукторов, индуктивно связанных с ускоряемым проводником и друг с другом, каждый из которых подключен к своему источнику электромагнитной энергии (конденсаторной батарее).



Р и с. 1

ражение для векторного потенциала «точечного» кругового витка с током в точке $B(r, z)$ имеет вид

$$A(B, t) = \int_{S_2} K(B, E) j(E, t) dS + \sum_{k=1}^n \frac{i_k N_k}{S_{1,k}} \int_{S_{1,k}} K(B, G_k) dS,$$

где S_2 и $S_{1,k}$ — сечения проводника и k -го индуктора соответственно; E, G — текущие точки интегрирования; $K(B, E)$ — ядро интегрального выражения. Для точки $H_k(r, z)$, принадлежащей k -му индуктору, получим

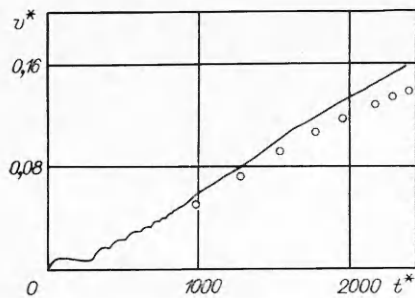
$$A(H_k, t) = \int_{S_2} K(H_k, E) j(E, t) dS + \sum_{q=1}^n \frac{i_q N_q}{S_{1,q}} \int_{S_{1,q}} K(H_k, G_q) dS$$

(i_q, N_q — ток и число витков в q -м индукторе). Используя уравнение для плотности тока в точке B проводника, движущегося вдоль оси z со скоростью v , имеем интегродифференциальное уравнение для плотности тока в проводнике:

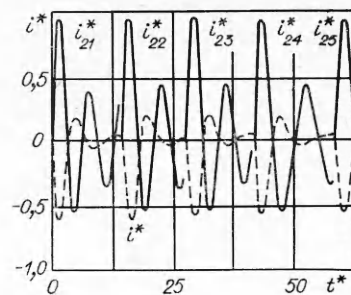
$$\frac{j(B, t)}{\gamma(B)} + \int_{S_2} K(B, E) \frac{\partial j(E, t)}{\partial t} dS + \sum_{k=1}^n \frac{N_k}{S_{1,k}} \frac{di_k}{dt} \int_{S_{1,k}} K(B, G_k) dS + v \int_{S_{1,k}} \frac{i_k N_k}{S_{1,k}} \frac{\partial K(B, G_k)}{\partial z} dS = 0.$$

Для k -го индуктора найдем

$$i_k (R_k + R_{0,k}) + L_{0,k} \frac{di_k}{dt} + 2\pi \frac{N_k}{S_{1,k}} \left[\int_{S_{1,k}} r dS \int_{S_2} K(G_k, E) \frac{\partial j(E, t)}{\partial t} dS + v \int_{S_{1,k}} r dS \int_{S_2} \frac{\partial K(G_k, E)}{\partial z} j(E, t) dS \right] + \frac{2\pi N_q}{S_{1,q}} \sum_{q=1}^n \frac{N_q}{S_{1,q}} \frac{di_q}{dt} \int_{S_{1,q}} r dS \int_{S_{1,q}} K(H_q, G) dS = u_k(t).$$



Р и с. 2



Р и с. 3

Здесь R_k — омическое сопротивление k -го индуктора; $L_{0,k}$, $R_{0,k}$ — индуктивность и активное сопротивление конденсаторной батареи, коммутатора и соединительных проводов, подключенных к k -му индуктору; $u_k(t)$ — напряжение на конденсаторной батарее k -го каскада; H_q — текущая точка интегрирования в сечении q -го индуктора. Уравнение разряда конденсаторной батареи k -го каскада имеет вид

$$u_k(t) = -U_{0,k} - \frac{1}{C_k} \int_0^t i_k dt$$

(C_k — емкость батареи k -го каскада, $U_{0,k}$ — зарядное напряжение). Электромагнитная сила, ускоряющая проводник, определяется из выражения

$$F = \sum_{k=1}^n 2\pi \frac{i_k N_k}{S_{1,k}} \int_{S_2} r j(E, t) dS \int_{S_{1,k}} \frac{\partial K(E, G_k)}{\partial z} dS.$$

Уравнения движения проводника и изменения электропроводности за счет джоулева нагрева запишем как

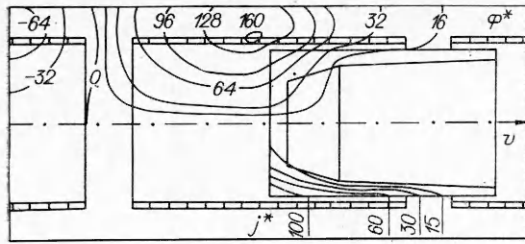
$$m dv/dt = F, dz/dt = v, \partial \gamma(B)/\partial t = -j^2(B) \beta \gamma(B) / \gamma_0,$$

где m — масса проводника; γ_0 , β — электропроводность материала проводника при нормальной температуре и тепловой коэффициент электропроводности. Заменяя интегралы конечными суммами согласно формуле прямоугольников, получим систему дифференциальных уравнений:

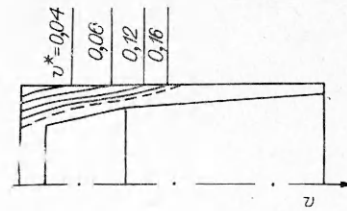
$$[L] \frac{d}{dt} [I] + v \frac{d}{dz} [L] [I] + [RI] = [u].$$

Здесь $[L]$ — матрица собственных и взаимных индуктивностей расчетных контуров; $[I]$ — столбец токов в расчетных контурах; $[RI]$ — столбец падения напряжений в активных сопротивлениях контуров; $[u]$ — столбец напряжений, приложенных к соответствующим контурам. При расчете элементов матрицы $[L]$ по [5] расчетные контуры проводника и индукторы ускорителя заменялись «тонкими» соленоидами с равномерно распределенным по длине током. Сечение ускоряемого проводника разбивалось равномерной сеткой по длине и радиусу на n_1 контуров. Полученная система линейных алгебраических уравнений относительно неизвестных производных dI/dt имеет разряженную матрицу $[L]$, многие элементы которой вдали от главной диагонали равны нулю. Эффективным способом решения таких систем уравнений являются итерационные методы. Использование схемы простой итерации приводит к вычислительному алгоритму

$$\left(\frac{dI_i}{dt} \right)^{j+1} = \frac{1}{L_{i,i}} \left[u_i - \sum_{\substack{k=1 \\ k \neq i}}^{n+n_1} L_{i,k} \left(\frac{dI_k}{dt} \right)^j - v \sum_{\substack{k=1 \\ k \neq i}}^{n+n_1} I_k \frac{dL_{i,k}}{dz} - R_i I_i \right].$$



Р и с. 4



Р и с. 5

Система дифференциальных уравнений, приведенная в результате решения системы алгебраических уравнений к виду Коши, решалась методом Рунге — Кутты четвертого порядка точности. В отличие от метода регуляризации по Лаврентьеву, использовавшегося в [2] и обеспечивающего порядок точности решения не выше второго, предложенная методика позволяет обеспечить малую ошибку усечения и высокую устойчивость, что особенно важно при моделировании относительно длительных процессов многокаскадного ускорения в условиях, когда решение ввиду наличия множества последовательно срабатывающих коммутаторов имеет негладкий характер. Затраты машинного времени на расчет переходных процессов в 20-каскадном ускорителе при разбиении метаемоного проводника на $n_1 = 8 \times 8 = 64$ контура при использовании ЭВМ ЕС-1061 составили 15 мин.

Анализ электромагнитных процессов в устройстве проведем на примере многокаскадного индукционного ускорителя, исследованного экспериментально. Ускоритель содержал 80 соосно установленных индукторов соленоидного типа, подключенных через воздушные разрядники к конденсаторным батареям. Синхронизация срабатывания разрядников с движением метаемоного проводника осуществлялась благодаря замыканию проводником установленных в канале ускорителя электродов. Выбрав в качестве базисных величин значения

$$L_* = L'd_1, \quad C_* = C'd_1, \quad U_* = \frac{1}{n} \sum_{k=1}^n U_{0,k}, \quad x_* = d_1,$$

где L' , C' — усредненные погонные (приходящиеся на единицу длины ускорителя) индуктивность обмотки и емкость конденсаторов:

$$L' = \pi \mu_0 (d_1 N')^2 / 4, \quad C' = \sum_{k=1}^n C_k / l, \quad N' = \sum_{k=1}^n N_k / l,$$

получим набор безразмерных величин, определяющих параметры k -го каскада:

$$\begin{aligned} d^* &= d_{2,k} / x_*, & L_k^* &= L_{0,k} / L_*, & C_k^* &= C_k / C_*, \\ U_k^* &= U_{0,k} / U_*, & R_k^* &= R_{0,k} \sqrt{C_* / L_*}, & l_k^* &= l_k / x_*, \\ v^* &= v \sqrt{C_* L_*} / x_*, & m^* &= m x_*^2 / (C_* U_*)^2 L_*. \end{aligned}$$

В исследуемом случае имело место $C_1^* \div C_{80}^* = 2,3$, $U_1^* \div U_{80}^* = 1,0$, $L_1^* \div L_{80}^* = 0,3$, $R_1^* \div R_{80}^* = 0,045$, $N_1 \div N_{10} = 14$, $N_{11} \div N_{40} = 9$, $N_{41} \div N_{80} = 4$, $d^* = 0,91$, $m^* = 1250$, $l_1^* \div l_{80}^* = 1,76$.

На рис. 2 изображены расчетная зависимость относительной скорости проводника v^* от времени $t^* = t / \sqrt{L_* C_*}$ и экспериментальные точки. Расхождение расчетных и экспериментальных значений скорости проводника по окончании ускорения составило 15 % и в основном объясняется тем, что математическая модель не учитывала сопротивления воздуха. Общий КПД ускорителя 17,4% в расчете и 14,3 % в эксперименте, а КПД отдельных каскадов изменялся в пределах 13—24 % и 11—20 % соответ-

ственно. Фрагменты расчетных кривых разрядных токов в 21—25-х каскадах ($i_{21}^* \div i_{25}^*$) и суммарного тока, протекающего в проводнике (i^*), представлены на рис. 3, где $i_h^* = i_h/i_*$, $i_* = U_* \sqrt{C_*/L_*}$.

На рис. 4 изображено расчетное распределение плотности тока $j^* = j/j_*$ по сечению проводника и магнитного потока $\Phi^* = \Phi/\Phi_*$ в канале ускорителя. Здесь $j_* = i_*/x_*^2$, $\Phi_* = \mu_0 i_*/x_*^3$, кривые отвечают максимуму разрядного тока в 10-м каскаде. На рис. 5 приведены расчетные и экспериментальные кривые, соответствующие границам оплавления проводника при различных скоростях движения v^* , штриховая линия — граница оплавления проводника по окончании ускорения, полученная в эксперименте. Согласно расчету, при увеличении числа каскадов более 80 предельная скорость, отвечающая разрушению проводника в результате плавления, составила бы $v^* \simeq 0,18$. Таким образом, экспериментально достигнута скорость метания, составляющая 78 % от предельной по условию плавления.

ЛИТЕРАТУРА

1. Бондалетов В. Н., Иванов Е. Н. Бесконтактное индукционное ускорение проводников до гиперзвуковых скоростей // ПМТФ.— 1975.— № 5.
2. Чемерис В. Т., Подольцев А. Д. Исследование магнитно-импульсного взаимодействия проводящих контуров на ЭЦВМ с учетом движения вторичного контура // Техн. электродинамика.— 1979.— № 1.
3. Бондалетов В. П., Иванов Е. П., Петров С. Р. и др. Исследование эффективности ускорения проводников в импульсном магнитном поле соленоида // ПМТФ.— 1983.— № 2.
4. Бер Г. З., Бондалетов В. Н., Гусаров А. А. Ускорение проводников в импульсном магнитном поле цилиндрического многовиткового индуктора // ПМТФ.— 1984.— № 4.
5. Калантаров П. Л., Цейтлин Л. А. Расчет индуктивностей.— Л.: Энергоатомиздат, 1986.

г. Истра

Поступила 21/III 1988 г.,
в окончательном варианте — 12/VII 1988 г.

УДК 539.3:537.8

А. Б. Алексеев, В. В. Елисеев

ЭЛЕКТРИЧЕСКИЕ, ТЕПЛОВЫЕ И УПРУГИЕ ПОЛЯ В ПРОВОДЕ ПРИ ЛОКАЛЬНОМ СКАЧКЕ СОПРОТИВЛЕНИЯ

В связи с созданием мощных электромагнитных систем проводятся расчеты термомеханических процессов в этих конструкциях. Особо интересны расчеты полей в комбинированных сверхпроводниках для оценки нежелательных последствий внезапного перехода в нормальное состояние [1].

В данной работе рассматриваются процессы в одиночном прямом бесконечно-длинном комбинированном проводе кругового сечения, представляющем собой жилу из идеального проводника, покрытую толстым слоем обычного металла. Считается, что в начальный момент времени удельное сопротивление жилы скачкообразно меняется от нуля до уровня окружающего металла. При этом ток, первоначально протекающий по идеальному проводнику, вытесняется в окружающий металл, выделяется тепло и возникают механические напряжения от перепада температуры и от пондеромоторных сил.

Расчет состоит из трех этапов: сначала определяется векторное поле плотности тока, затем — вызванное джоулевым теплом температурное поле, результаты этих двух этапов применяются далее в расчете механических напряжений.

1. Диффузия плотности тока. Используя систему уравнений Максвелла и линейные материальные соотношения для изотропной среды [2], получим уравнение для плотности тока

$$(1.1) \quad \frac{1}{\mu_0 \mu \sigma} \nabla \times (\nabla \times \mathbf{j}) + \frac{\partial \mathbf{j}}{\partial t} + \frac{\varepsilon_0 \varepsilon}{\sigma} \frac{\partial^2 \mathbf{j}}{\partial t^2} = 0.$$

Здесь $\mathbf{j}(r, t)$ — вектор плотности тока как функция радиуса-вектора и времени; μ и ε — магнитная и диэлектрическая проницаемости среды;